

### III-6

### 弯曲部における水制の水制作用について

九州大学 工学部 正員 横 東一郎  
 平野 宗夫  
 学生員 田中 耕一

#### 1 緒言

直線部に設置した越流連続水制についての実験及び解析を行つたが、水制の流速減殺効果は、水制高 $h_0$ と水制間隔 $s$ との比 $h_0/s$ が $10 \sim 20$ 程度のとき著しい。水制長 $B$ については、 $(h_0/s)^{2.2}(B/s) > 2.5$ を満す範囲内で短めることを希望するという結果が得られた。従って、河川工学上の基準とされてゐる直線部水制では有効なパラメーターとはなり得ない。しかしながらもともと水制は河川弯曲部に設けられることが多く、その場合の流れの集中流向の性状よりみて直線部の要素の他に $h_0/s$ が弯曲性状に関連して重要なファクターとして入ってくることが予想される。本文は弯曲部における水制の機能を調べる第一歩として1個の非越流水制を設置した場合の流況と河床砂の堆積傾向についての実験を行い、若干の考察を加えたものである。

#### 2 実験装置と実験方法

実験に用いた水路は中 $100\text{cm}$ の長方形断面コンクリート製であつて、上流 $4\text{m}$ 、下流 $45\text{m}$ の直線水路の間に偏角 $90^\circ$ 、中心曲率半径 $180\text{cm}$ の曲線部が挿入されており、路床こう配は $1/600$ である。流れの条件は流量 $25\text{l/s}$ 、下流 $45\text{m}$ の水深 $5.8\text{cm}$ とする。使用した水制は $20\text{cm} \times 20\text{cm}$ で、まず最初に水制を設置しない場合、水制を外側 $0^\circ$ 度、 $60^\circ$ 度、 $90^\circ$ 度、内側 $0^\circ$ 度、 $60^\circ$ 度に設置した場合に、それそれの流速（底から $2\text{cm}$ の点の内側、外側各 $2\text{cm}$ と水路中央の点の流速）と流向（水路中央の表面、底面の流向）と水位（内側、外側 $2\text{cm}$ の点と水路中央の水位）と後流渦を測定した。河床砂の堆積傾向をみるために弯曲部上流 $2\text{m}$ の点から水路中一様に粒径 $0.3\text{mm}$ の均一砂を流し、堆砂状態がほぼ定常であると思われる時に水を止め、その形状と堆砂量を測定した。流速はプロペラ流速計を使用。流向は糸を流してそれが接線方向となす角を測定。水位は静压管により傾斜ノーメーターで測定。後流渦の終点の位置は、糸のふれる方向によって判定した。

#### 3 実験結果とその考察

##### ① flow pattern

流れの特性は弯曲流れの特性と非越流実堤の水理特性との組合せである。まず弯曲流れの特性として主流と邊りの横断分布が次式で表わされる。

$$U = k r^m \quad (1) \quad \text{2次流が充分発達したとき } m=1$$

完全流体とすると  $m=-1$  (入口)

弯曲流の運動方程式及び連続式は、次の様にあらわすことができる。

$$V \frac{dV}{dr} - \frac{U^2}{r} = -g \frac{du}{dr} \quad (2)$$

$$V \frac{dU}{dr} + \frac{UV}{r} = g k \quad (3)$$

$$\frac{1}{r} \frac{\partial(Vr)}{\partial r} = 0 \quad (4)$$

(2)式は横方向 $\theta$ に無関係としたとき  $\frac{du}{dr} = \frac{U^2}{r}$  (5) となる。

弯曲による遠心力によって半径方向の流速成分が現われてくる。遠心力は速度の2乗に比例するため表面底面流速の違いにより不均衡となりそのため流れに直角な断面内での回転りがあらわれ流向の変化としてでてくる。横断水面積は遠心力と半径方向の水面こう配の割合としてあらわれる。(付式) 次に非越流実堤の水理特性として後流渦の長さは  $L_v/B = 12 \sim 16$  で逆流速度の速度変動は図-1のようになる。又 displacement thickness  $\delta_* = \int_0^{\infty} (T-u) dy$  による影響を考えると、川幅が有限のときには主流速度が変化し恐らく逆流速度最大で  $\delta_*$  が最も大きくなる極大になるであろう。

流向が水制によって影響をうける範囲は  $\theta=90^\circ$  とともに水制の上下流  $\alpha B$  ( $\alpha=5 \sim 7$ ) に及ぶ。図-2のように  $\tan\psi$  は分布する。

以上の弯曲流れと非越流実堤の水理特性を考慮して弯曲部において水制の及ぼす影響について述べる。

#### 水制側(外側)の壁面速度

①水制の上流側 壁面速度は  $\alpha B$  程度の上流から減速され水制位置では殆んど死水域となる。  $\alpha$  の値は水制設置位置  $\beta$  が大きくなるほど小さくなる傾向があるが、これは約3程度である。(図-4)

#### ②水制背後の逆流領域

No. 1, 2, 3 の順で逆流領域は小さく、逆流速度は大きくなり、平均速度の  $1/2$  以上の逆流速度が認められる。

流れの方向は水制がない場合の  $\tan\psi$  の値と直線部の水制による流向の変化を重ね合わせると実験結果と同じ傾向となる。 $\tan\psi$  は流れの方向と同時に砂の移動の方向を示すので非常に重

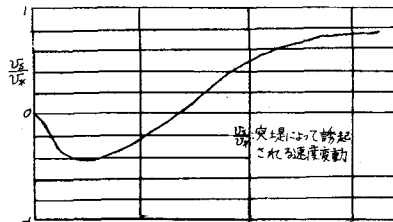


図1 実堤背後の側壁にそむき速度変動

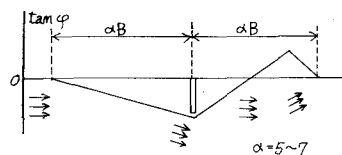


図2 実堤による  $\tan\psi$  の変化

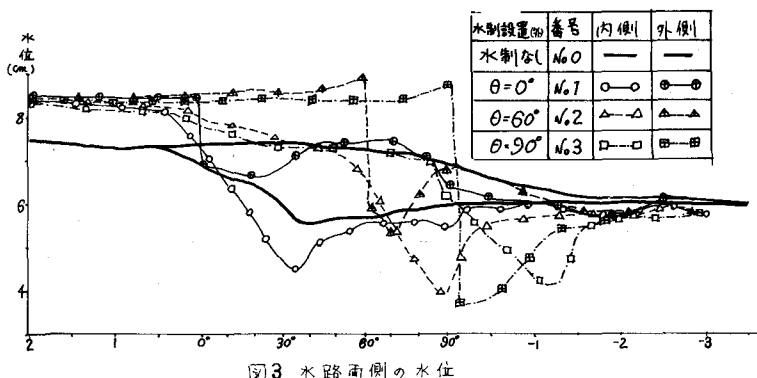


図3 水路外側の水位

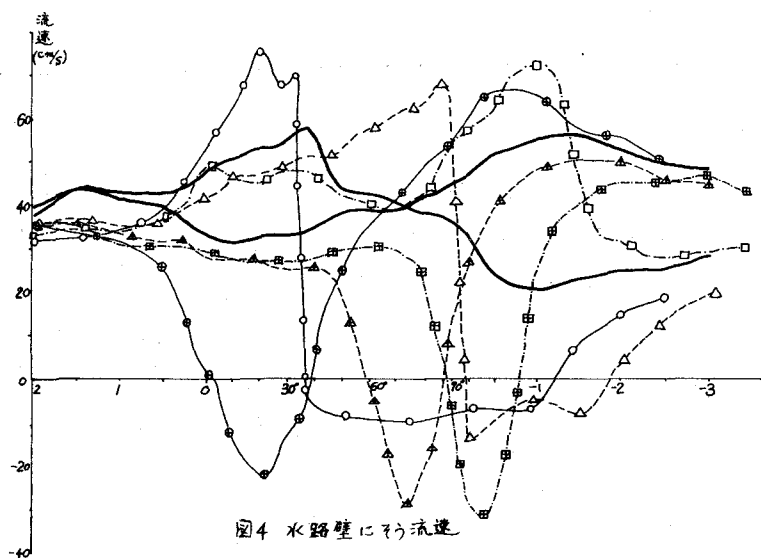


図4 水路壁にそむき流速

要である。(図-5)

## ②内壁のハク離と水制背後の死水領域

図-3,4において内側では水制により流れが集中し流速増大部で  $D/d$  が大きく  $dh/dr$  も大きくなっている。 $t_{min}$  に達した後圧力勾配のために衝撃的に内側の流れは壁面からハク離して逆流域を形成する。90°に設置した場合は交叉波を生じてハク離が促進される原因として、④流速が増大し遠心力による内側の水面低下により圧力上昇、特に局部的に射流跳水を起す。

⑤水制のある程度下流では外側に向う流れを発生し流れが内壁に沿う難くなる。水制背後の逆流域については前に述べた。

## ③河床砂の堆積傾向

弯曲部に於て顯著な堆積をもたらすための条件としては、④底面上における流れの偏角  $\tan \varphi_b$  の負値が大きく上流からの流送土砂が内壁に集中することと、⑤内壁附近における流速減少の割合が大きいことである。

### 堆積量及び堆積形状についての説明

No.0 内側の流速が減り始め  $\theta=30^\circ$  附近から堆積が始り  $\tan \varphi_b$  が最大となる。 $\theta=80^\circ$  附近で堆積量が最も大きくなる。それより下流では流速が小さいため流送土砂量が少くなり図-7のような堆積形状となる。

No.1  $\tan \varphi_b$  が最大となる所は  $\theta=0^\circ$  であるがここは流速が大きく砂は内壁に沿う流れられるが流れがハク離を生ずる  $\theta=35^\circ$  附近から堆積はじめる。堆積はハク離領域と主流域の境界附近に起りハク離領域内の逆流域には堆積しない。堆積量は  $\tan \varphi_b$  が  $\theta=0^\circ$  の次に大きな  $\theta=80^\circ$  あたりで最大となる。

No.2  $\theta=50^\circ$ ,  $x=-a25$  附近で  $\tan \varphi_b$  は大きくなつて  $\theta=80^\circ$  では流速が比較的大きいので堆積量は少くそれより下流では流速が大きくなり堆砂はない。しかし  $x=-a25$  附近の内壁に生じたハク離により減速され再び堆砂を始める。堆積量は  $x=-a75$  附近が最大となる。形状は No.1 と同様なものとなつていい。

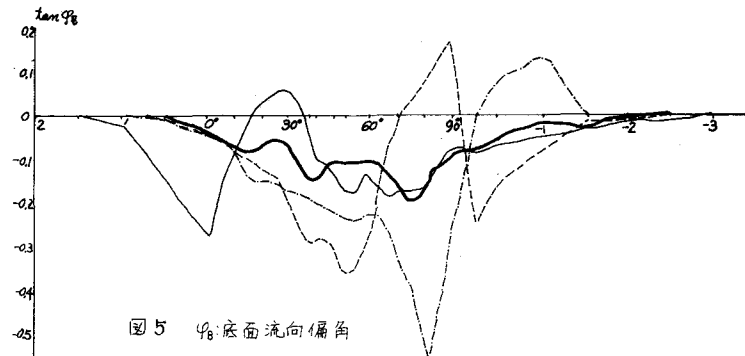


図5  $\varphi_b$ : 底面流向偏角

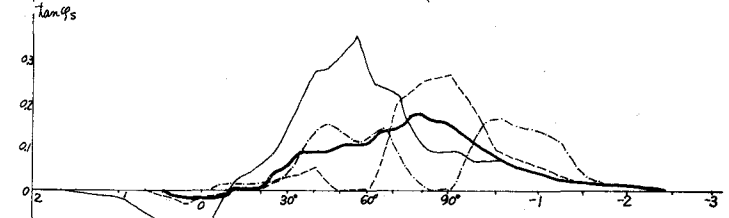


図6  $\varphi_b$ : 表面流向偏角

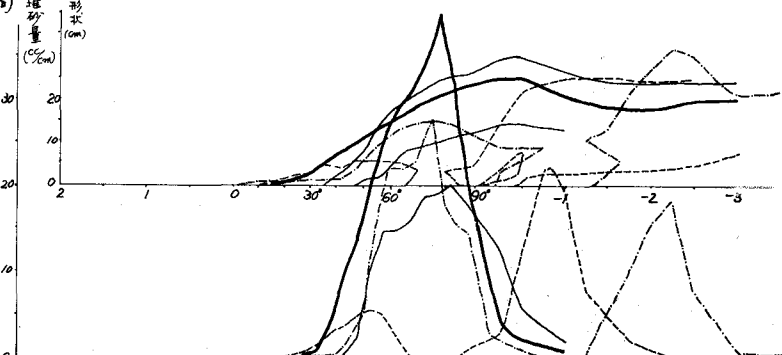


図7 堆積形狀と堆積量(湿润体積)

として、④底面上における流れの偏角  $\tan \varphi_b$  の負値が大きく上流からの流送土砂が内壁に集中することと、⑤内壁附近における流速減少の割合が大きいことである。

No.3 水制の影響が内側では  $\theta=80^\circ$  位までしが及んでなく  $\theta=30^\circ$  附近から、 $\theta=80^\circ$  位まで流速が減少す。3.  $x=0$  も  $\theta=80^\circ$  附近で最大となり弯曲部  $\theta=75^\circ$ 。堆砂量は最大となる。

$\theta=80^\circ$  を過ぎると水制による流れの集中により流速が大きくなり、交叉渦のために流速が再び減少する。 $x=-1.5$  附近まで堆積は起らない。

砂は内側に沿って流れてくるので内側に堆砂する。内側流速が小さくなる  $x=-2$  附近に最もたまる。

以上弯曲部外側に水制を置いた場合の現象について述べた。

次に内側に水制を置いた場合の実験結果(水位、流速、 $\tan\varphi_s$ 、堆積状況)を図-8, 9, 10, 11 に示す。

ここでは、結果の考察は省略する。

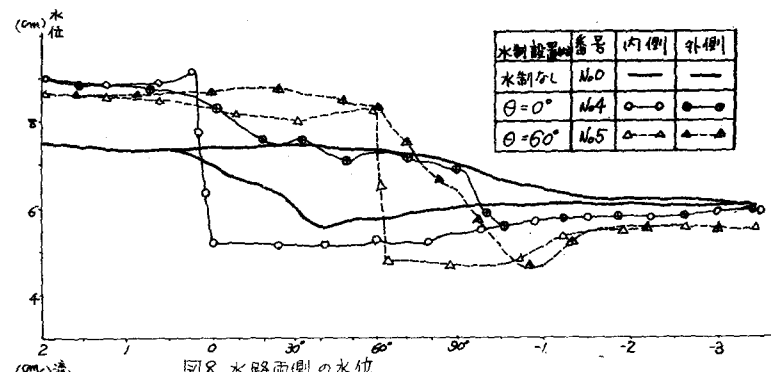


図8 水路面側の水位

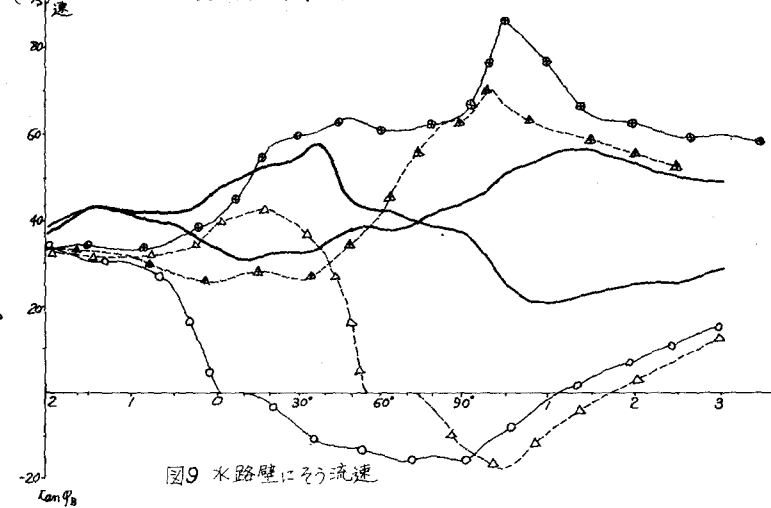


図9 水路壁にそむく流速

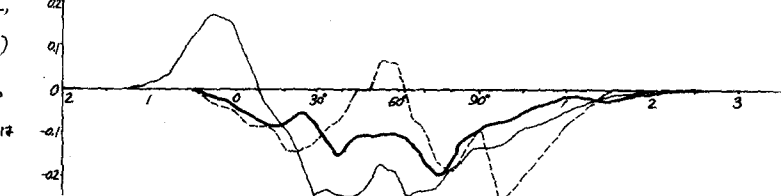


図10

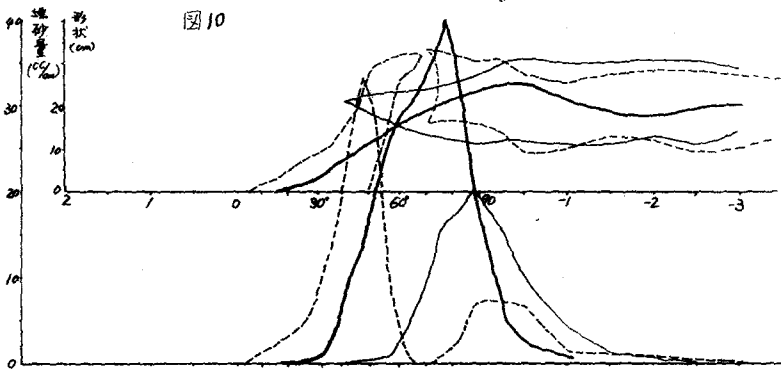


図11 堆砂形状と堆積量(浸潤体積)